zoosystema

"OUR PLANET REVIEWED" 2015

LARGE-SCALE BIOTIC SURVEY IN MITARAKA, FRENCH GUIANA

Edited by Julien TOUROULT



DIRECTEUR DE LA PUBLICATION: Bruno David
Président du Muséum national d'Histoire naturelle

RÉDACTRICE EN CHEF / EDITOR-IN-CHIEF: Laure Desutter-Grandcolas

Assistants de Rédaction / Assistant Editors : Anne Mabille (zoosyst@mnhn.fr), Emmanuel Côtez

MISE EN PAGE / PAGE LAYOUT: Anne Mabille

COMITÉ SCIENTIFIQUE / SCIENTIFIC BOARD:

James Carpenter (AMNH, New York, États-Unis)
Maria Marta Cigliano (Museo de La Plata, La Plata, Argentine)
Henrik Enghoff (NHMD, Copenhague, Danemark)
Rafael Marquez (CSIC, Madrid, Espagne)
Peter Ng (University of Singapore)
Gustav Peters (ZFMK, Bonn, Allemagne)
Norman I. Platnick (AMNH, New York, États-Unis)
Jean-Yves Rasplus (INRA, Montferrier-sur-Lez, France)
Jean-François Silvain (IRD, Gif-sur-Yvette, France)
Wanda M. Weiner (Polish Academy of Sciences, Cracovie, Pologne)
John Wenzel (The Ohio State University, Columbus, États-Unis)

COUVERTURE / COVER:

Aerial view of the Massif of Mitaraka in French Guiana (photo: Xavier Desmier). In medaillon, Neacratus viridis n. sp.: paratype 9.

Zoosystema est indexé dans / Zoosystema is indexed in:

- Science Citation Index Expanded (SciSearch®)
- ISI Alerting Services®
- Current Contents® / Agriculture, Biology, and Environmental Sciences®
- Scopus®

Zoosystema est distribué en version électronique par / Zoosystema is distributed electronically by:

- BioOne® (http://www.bioone.org)

Les articles ainsi que les nouveautés nomenclaturales publiés dans Zoosystema sont référencés par / Articles and nomenclatural novelties published in Zoosystema are referenced by:

- ZooBank® (http://zoobank.org)

Zoosystema est une revue en flux continu publiée par les Publications scientifiques du Muséum, Paris / Zoosystema is a fast track journal published by the Museum Science Press, Paris

Les Publications scientifiques du Muséum publient aussi / The Museum Science Press also publish: Adansonia, Anthropozoologica, European Journal of Taxonomy, Geodiversitas, Naturae.

Diffusion – Publications scientifiques Muséum national d'Histoire naturelle CP 41 – 57 rue Cuvier F-75231 Paris cedex 05 (France) Tél.: 33 (0)1 40 79 48 05 / Fax: 33 (0)1 40 79 38 40 diff.pub@mnhn.fr / http://sciencepress.mnhn.fr

© Publications scientifiques du Muséum national d'Histoire naturelle, Paris, 2018 ISSN (imprimé / print): 1280-9551/ ISSN (électronique / electronic): 1638-9387

PHOTOCOPIES

Les Publications scientifiques du Muséum adhèrent au Centre Français d'Exploitation du Droit de Copie (CFC), 20 rue des Grands Augustins, 75006 Paris. Le CFC est membre de l'International Federation of Reproduction Rights Organisations (IFRRO). Aux États-Unis d'Amérique, contacter le Copyright Clearance Center, 27 Congress Street, Salem, Massachusetts 01970.

PHOTOCOPIES:

The Publications scientifiques du Muséum adhere to the Centre Français d'Exploitation du Droit de Copie (CFC), 20 rue des Grands Augustins, 75006 Paris. The CFC is a member of International Federation of Reproduction Rights Organisations (IFRRO). In USA, contact the Copyright Clearance Center, 27 Congress Street, Salem, Massachusetts 01970.

Brentidae Acratini du massif du Mitaraka, en Guyane: une synthèse des données (Insecta, Coleoptera, Curculionoidea)

Antoine MANTILLERI

Muséum national d'Histoire naturelle, Direction des collections, case postale 50, 57 rue Cuvier, F-75231 Paris cedex 05 (France) antoine.mantilleri@mnhn.fr

Soumis le 1er septembre 2017 | Accepté le 15 décembre 2017 | Publié le 7 août 2018

urn:lsid:zoobank.org:pub:0CEBAA2B-39B5-48BD-89D8-441640A258CB

Mantilleri A. 2018. — Brentidae Acratini du massif du Mitaraka, en Guyane: une synthèse des données (Insecta, Coleoptera, Curculionoidea), *in* Touroult J., "Our Planet Reviewed" 2015 large-scale biotic survey in Mitaraka, French Guiana. *Zoosystema* 40 (15): 375-388. https://doi.org/10.5252/zoosystema2018v40a15. http://zoosystema.com/40/15

RÉSUMÉ

Une liste des Brentidae Acratini récoltés durant une mission de terrain menée en 2015 dans le massif du Mitaraka (c. 2°14'N, 54°27'O), en Guyane, est donnée. Deux espèces sont nouvellement décrites: Parateramocerus teko n. sp. et Neacratus viridis n. sp. Une nouvelle mise en synonymie est effectuée: Proteramocerus affinis Soares & Dias, 1971, n. syn. de Proteramocerus enervatus Kleine, 1927. Ce dernier taxon est transféré dans le genre Parateramocerus Mantilleri, 2015, entraînant la nouvelle combinaison suivante: Parateramocerus enervatus (Kleine, 1927) n. comb. Sa découverte dans le massif du Mitaraka constitue un nouveau signalement pour la Guyane; il est aussi enregistré pour la première fois au Pérou. Fonteboanius lamellipes Senna, 1893 est aussi nouvellement cité de Guyane.

ABSTRACT

Brentidae Acratini from Mitaraka Massif, French Guiana: a data review (Insecta, Coleoptera, Curculionoidea). A list of Brentidae Acratini collected during a field trip conducted in 2015 in the Mitaraka Massif (c. 2°14'N, 54°27'W), in French Guiana, is given. Two new species are described: Parateramocerus teko n. sp. and Neacratus viridis n. sp. A new synonymy is proposed: Proteramocerus affinis Soares & Dias, 1971, n. syn. of Proteramocerus enervatus Kleine, 1927. This last taxon is transferred to the genus Parateramocerus Mantilleri, 2015, leading to the new combination Parateramocerus enervatus (Kleine, 1927) n. comb. Its discovery in the Mitaraka Massif is a new record for French Guiana; it is also newly recorded from Peru. Fonteboanius lamellipes Senna, 1893 is recorded for the first time from French Guiana.

MOTS CLÉS
Région néotropicale,
morphologie,
faunistique,
signalisations nouvelles,
synonyme nouveau,
combinaison nouvelle,
espèces nouvelles

KEY WORDS Neotropical region, morphology, faunistics, new records, new synonym, new combination, new species.

INTRODUCTION

Les Coléoptères Brentidae d'Amérique du Sud sont très mal connus, et la faune de Guyane pour ce groupe n'échappe pas à ce constat. La tribu des Acratini Alonso-Zarazaga, Lyal, Bartolozzi & Sforzi, 1999 y totalisait jusqu'à récemment sept espèces connues réparties en cinq genres (Sforzi & Bartolozzi 2004). Les récoltes récentes effectuées et la révision de certains genres et groupes d'espèces (Mantilleri 2015a, b, c; 2016; 2017) ont permis d'atteindre le nombre de 17 espèces en six genres. Malgré ces efforts, la connaissance de la diversité du groupe est encore très certainement fragmentaire. La mission de terrain organisée par le Muséum national d'Histoire naturelle et Pro-Natura international (PNI), conduite en 2015 dans le massif du Mitaraka, au sud du territoire, dans le cadre du programme « La Planète Revisitée », avait pour but de mieux faire connaître la biodiversité de cette région reculée et peu prospectée, et potentiellement de découvrir des espèces nouvelles pour la Science ou pour la Guyane (Touroult et al. 2018). Une liste des Brentidae Acratini récoltés à cette occasion est donc proposée ici.

MATÉRIEL ET MÉTHODES

Sauf mention contraire, tous les spécimens cités ont été récoltés dans les environs du camp de la mission (2°14'N, 54°27'O), par la méthode du piège-vitre à interception telle qu'employée pour les collectes massives effectuées sur le site de la montagne des Chevaux (voir Touroult *et al.* 2017, 2018).

Les genitalia ont été montés dans l'Euparal® entre lame et lamelle. Les mesures ont été prises à l'aide d'une loupe binoculaire Nikon SMZ1000 et d'un oculaire micrométrique gradué. Les photographies ont été réalisées avec un appareil Canon EOS 6D associé à un objectif MP-E 65 mm Macro f/2.8 et monté sur un dispositif semi-automatique Cognisys Rail macro Stack Shot piloté par le logiciel Helicon Remote. Les photographies ont été combinées en utilisant le logiciel Helicon Focus 6 et traitées à l'aide d'Adobe Photoshop CS5.

ABRÉVIATIONS

Institutions

NHM

MNHN Muséum national d'Histoire naturelle, Paris; MNRJ Museu Nacional, Universidade Federal do Rio de

> Janeiro, Rio de Janeiro (Marcela L. Monné); The Natural History Museum, Londres (Maxwell

Barclay).

Collection privée

coll. AM collection Antoine Mantilleri, Paris.

RÉSULTATS

Famille Brentidae Billberg, 1820 Sous-famille Trachelizinae Lacordaire, 1865 Tribu Acratini Alonso-Zarazaga, Lyal, Bartolozzi & Sforzi, 1999

REMARQUE

Au total, ce sont 49 spécimens et onze espèces de la tribu des Acratini qui ont été collectés en 2015 dans le massif du Mitaraka; deux espèces, nouvelles pour la science, sont décrites ci-après. La liste s'établit comme suit.

Genre Fonteboanius Senna, 1893

Fonteboanius lamellipes Senna, 1893

Fonteboanius lamellipes Senna, 1893: 125.

MATÉRIEL EXAMINÉ. — **Guyane**. 1 $\,^{\circ}$, massif du Mitaraka (*c*. 2°14'N, 54°27'O), 25.II-26.III.2015 (MNHN); 1 $\,^{\circ}$ et 1 $\,^{\circ}$, *idem*, 12-20. VIII.2015 (MNHN).

Remarque

Cette espèce n'était connue que par les deux mâles de Fonte Boa (2°31'S, 66°06'O), dans l'État d'Amazonas au Brésil, examinés par Senna (1893) lors de la description originale du taxon. Cette nouvelle citation pour la Guyane étend l'aire de répartition connue de cette espèce de près de 1400 km vers le nord-ouest.

Genre *Neacratus* Alonso-Zarazaga, Lyal, Sforzi & Bartolozzi, 1999

Neacratus obtusus (Lund, 1800)

Brentus obtusus Lund, 1800: 64.

Neacratus obtusus - Sforzi & Barolozzi 2004: 575.

MATÉRIEL EXAMINÉ. — **Guyane**. 1 σ et 4 \circ , massif du Mitaraka (c. 2°14'N, 54°27'O), 12-20.VIII.2015; La Planète revisitée, MNHN/PNI Guyane 2015 (APA-973-1) (MNHN).

Neacratus pascali Mantilleri, 2017

Neacratus pascali Mantilleri, 2017: 274.

MATÉRIEL EXAMINÉ. — **Guyane**. σ holotype, MNHN-EC-EC7580 et 1 σ paratype, MNHN-EC-EC7975, massif du Mitaraka (c. 2°14'N, 54°27'O), 12-20.VIII.2015; La Planète revisitée, MNHN/PNI Guyane 2015 (APA-973-1).

Neacratus viridis n. sp. (Figs 1A, B; 3; 6A-F; 8A-E)

urn:lsid:zoobank.org:act:DE9BA5EB-D28D-4D7F-A971-473E3243E099

MATÉRIEL TYPE. — **Holotype**. σ , «Guyane, massif du Mitaraka, c. 2°14'N, 54°27'O, 25.II-26.III.2015; La Planète revisitée, MNHN/PNI Guyane 2015 (APA-973-1); MNHN-EC-EC8318». **Paratypes**.12 σ et 12 φ , *idem* holotype, prép. micro. n°AM00401, AM00402, MNHN-EC-EC8319-8341; 1 φ , Guyane, Cayenne, Bourda (4°56'19"N, 52°17'13"O), V.1992, Marek & Seidl leg., MNHN-EC-EC8346; 1 σ , Guyane, Petit-Saut (5°03'N, 53°03'O),

376 zoosystema • 2018 • 40 (15)

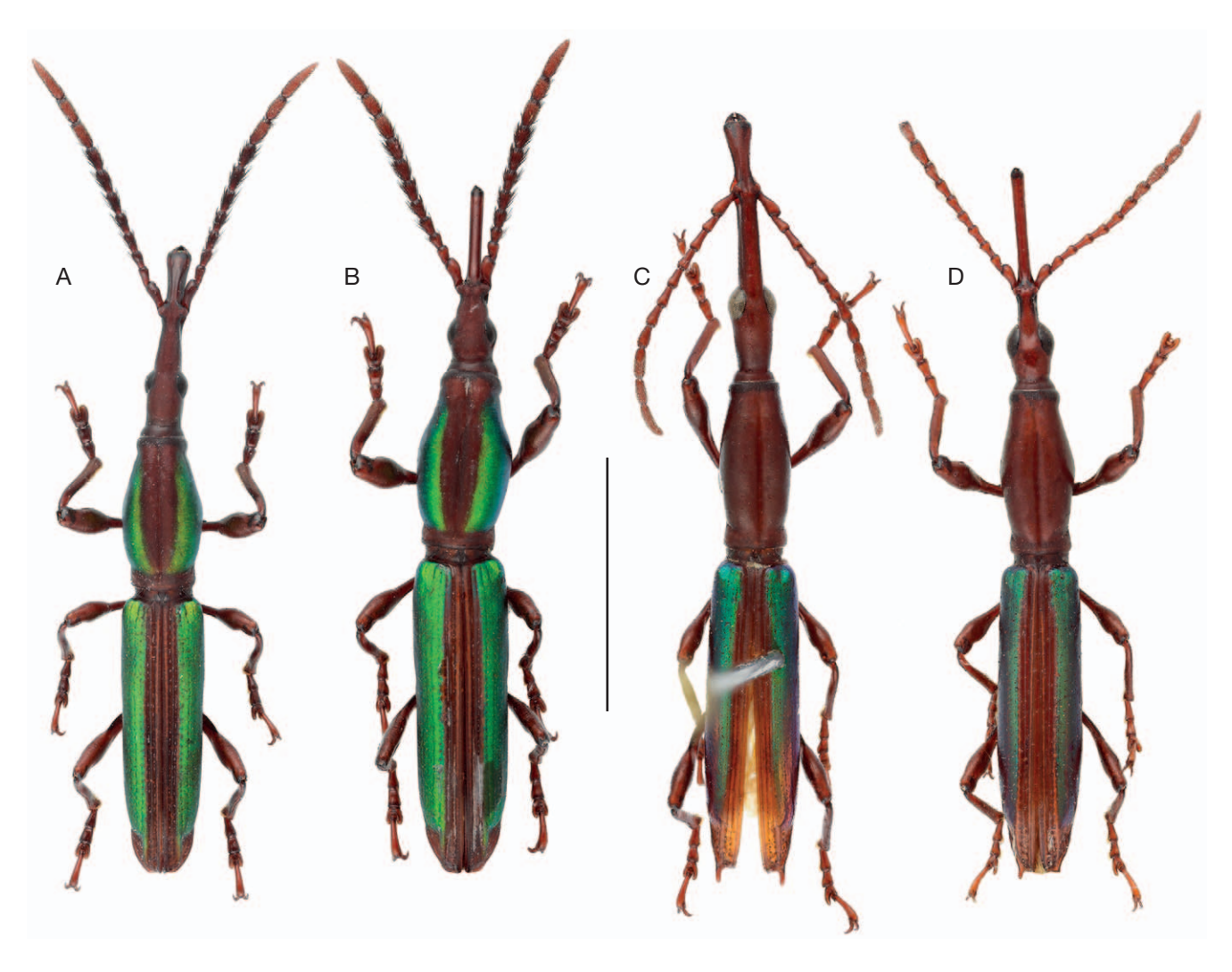


Fig. 1. - Brentidae Acratini, habitus: A, B, Neacratus viridis n. sp.: & holotype (A), Q paratype EC8319 (B); C, D, Parateramocerus teko n. sp., & holotype (C); ♀ paratype (D). Échelle: 5 mm.

1.III.1993, Marek & Seidl leg., MNHN-EC-EC8347; 1 σ , Guyane, montagne des Chevaux (4°43'N, 52°25'O), 10.I.2009, S. Brûlé, P.-H. Dalens & E. Poirier leg. (coll. AM); 2 ♂ et 2 ♀, *idem*, 18.I.2009 (coll. AM); 1 ♂, idem, 8.II.2009 (coll. AM); 1 ♀, idem, 22.II.2009 (coll. AM); 1 ♀, idem, 8.III.2009 (coll. AM); 1 ♂, idem, 25.IV.2009 (coll. AM); 2 ♂ et 3 ♀, idem, 12.VI.2009 (coll. AM); 2 ♀, idem, 8.IX.2009 (coll. AM); 1 \, idem, 21.II.2010 (coll. AM); 1 \, idem, 22.VIII.2010 (coll. AM); 1 &, idem, 7.XI.2010 (coll. AM); 1 &, idem, 1.II.2011 (coll. AM); 1 ♀, idem, 31.III.2011 (coll. AM); 2 ♀, idem, 25.IX.2011 (coll. AM); 2 ♀, idem, 8.X.2011 (coll. AM); 2 ♂ et 49, idem, 23.X.2011 (coll. AM).

Autre matériel examiné. — **Brésil**. 7 ♂ et 9 ♀, État d'Amazonas, Tefé (3°21'S, 64°43'O), 1.X.1878-31.III.1879, M. de Mathan (MNHN); 29 ♂ et 28 ♀, idem, 1.I.1879-31.III.1879, prép. micro. n°AM00400 et AM00403 (MNHN); 1 ♂ et 1 ♀, État d'Amazonas, Tefé, ex Musaeo Desbrochers 1913 (MNHN).

Guyane. 2 d', Cayenne (4°55'N, 52°20'O), Ex Musaeo Guérin-Méneville (MNHN); 1 \, \sigma, Ancien Chantier Gourdonville (5\, 01\, N), 52°39'O), 1907, E. Le Moult (MNHN).

ÉTYMOLOGIE. — De l'adjectif latin viridis, vert, en rapport avec la vive couleur vert métallique des élytres et du pronotum de cette espèce.

LOCALITÉ TYPE. — Guyane, massif du Mitaraka, c. 2°14'N, 54°27'O.

DIAGNOSE. — Élytres vert métallique, sans pointe apicale; articles 3-8 des antennes à épaisses soies noirâtres; côtés et dessous de la tête et du métarostre sans pores sensoriels; sclérite proximal de l'endophallus en forme de Y renversé; coxites IX prolongés par deux grands «sacs» contenant de très nombreux petits éléments discoïdaux cupuliformes.

DESCRIPTION

Mâle

Mesures. Longueur de l'extrémité du rostre à l'apex des élytres: 11,0-20,3 mm; longueur de l'apex du pronotum à l'extrémité des élytres: 9,1-13,9 mm; largeur entre les calus huméraux: 1,6-2,5 mm. Élytres et pronotum vert métallique sur les côtés; tête, pattes, disque du pronotum, interstries élytraux I-III et apex élytral brun-rouge, souvent avec des reflets métalliques (Fig. 1A).

Tête (Fig. 3A). Lisse, non sillonnée, cylindrique, à constriction collaire très faible, la base non anguleuse; fovéole interoculaire absente. Prorostre égal à 0,89-1,05 × la longueur du mésorostre et du métarostre réunis, élargi et échancré à l'apex avec quelques longues soies paramédianes, la base assez longue-

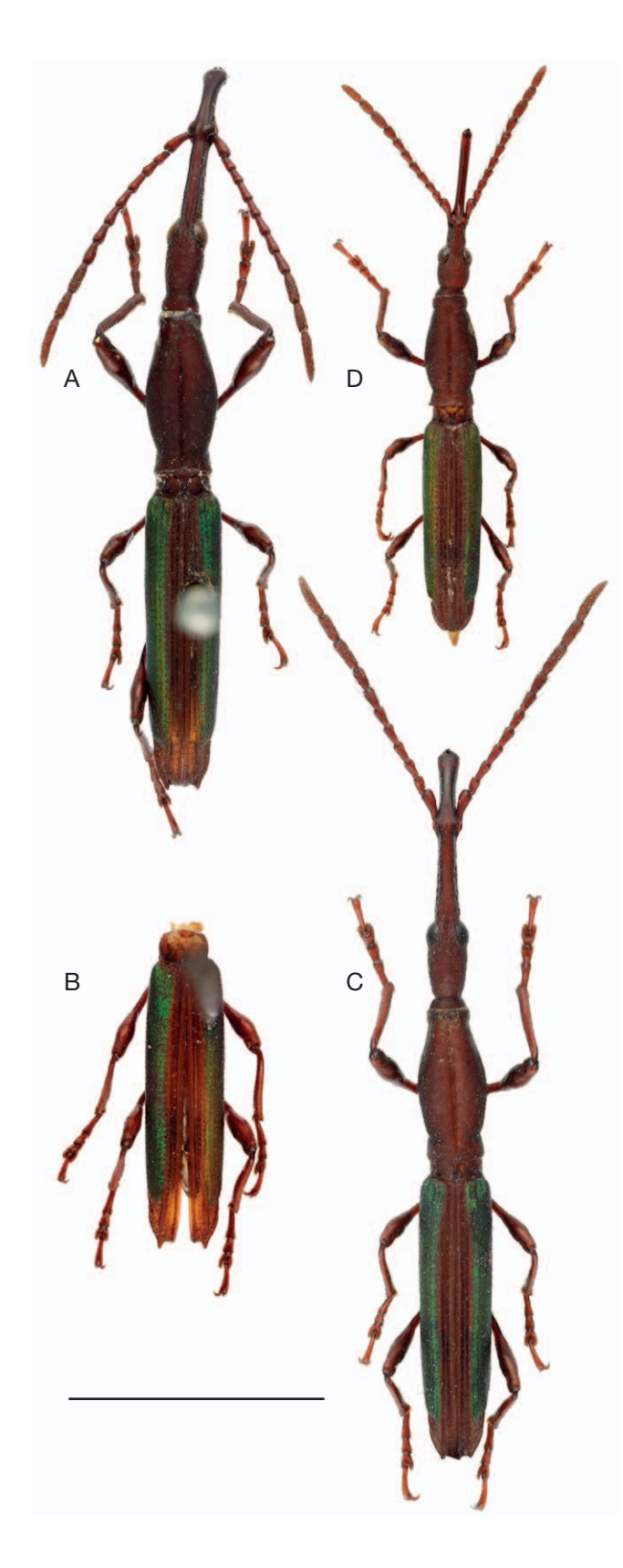


Fig. 2. — Parateramocerus enervatus (Kleine, 1927) n. comb.: **A**, ♂ lectotype de Proteramocerus enervatus Kleine, 1927; **B**, ♂ holotype de Proteramocerus affinis Soares & Dias, 1971; **C**, **D**, Parateramocerus enervatus n. comb. de Guyane: **C**, ♂; **D**, ♀. Échelle: 5 mm.

ment sillonnée et carénée sur les côtés. Métarostre à peine sillonné à l'apex, lisse, non caréné. Longueur des yeux égale à 0,55-0,80 × celle des tempes. Côtés et dessous de la tête et du métarostre (Fig. 3B, C) sans pores sensoriels. Dessous de la tête avec la suture gulaire bien marquée, se terminant en avant par une fovéole post-oculaire médiane. Dessous du prorostre sans pores sensoriels, lisse. Articles antennaires 3-8 plus longs que larges, un peu élargis à l'apex, à épaisses soies noires (Fig. 3D); antennomères 9-10 subcylindriques, bien plus longs que larges, couverts de courtes soies claires; article 9 égal à 1,14-1,32 × la longueur de l'article 8; article 11 égal à 1,62-1,68 × la longueur de l'article 9.

Thorax. Pronotum 1,75-2,06 × plus long que large, sillonné longitudinalement, non ponctué. Scutellum non inséré entre les élytres à la base, non fovéolé. Élytres sans fossette ni profonde dépression à la base au niveau de l'insertion sur le mésonotum; base en pente raide. Stries 1-2 marquées, la strie 2 atteignant presque toujours la base des élytres; stries 3-8 indiquées par des lignes de ponctuations bien distinctes; strie 9 bien marquée sur la moitié postérieure, n'atteignant pas la base; strie 10 profonde à la base, disparaissant à l'apex. Apex des élytres (Fig. 3E, F) sans dent, légèrement tronqué. Prosternellum distinct; suture prosternale visible. Métanépisternes ponctués. Métasternum lisse, non sillonné, légèrement fovéolé en avant des métacoxae. Coxae avec quelques soies dressées. Trochanters pubescents. Fémurs non pédonculés; pro- et mésofémurs sans dépression longitudinale sur la face externe; métafémurs (Fig. 3G) aplatis à la base, non déprimés sur les côtés, avec des soies raides sur la face inférieure. Ensemble des protarses plus court que l'ensemble des métatarses. Premier tarsomère plus long que large, plus court que les tarsomères 2-3 réunis, ces derniers avec une impression sur la face supérieure.

Abdomen (Fig. 3H). Abdomen à sternite III glabre à subglabre; sternites III-IV lisses, non déprimés; sternites V-VI lisses; sternite VII presque entièrement lisse et glabre. Tergites membraneux sombres. Sternites VIII-IX (Fig. 6C, F) avec une petite sclérification entre eux. Tegmen (Fig. 6B, E) à lobes paraméroïdes peu développés, avec quelques très courtes soies apicales. Pénis (Fig. 6A, D) arrondi à l'apex, à témones aussi longs que la partie distale. Frena très réduits mais distincts. Endophallus avec un sclérite proximal en forme de Y renversé, la partie postérieure de celui-ci plus ou moins développée; pas de baguettes paramédianes ni de spicules.

Femelle

Mesures. Longueur de l'extrémité du rostre à l'apex des élytres: 11,9-17,6 mm; longueur de l'apex du pronotum à l'extrémité des élytres: 8,6-13,0 mm; largeur entre les calus huméraux: 1,6-2,3 mm. Coloration comme le mâle (Fig. 1B).

Tête (Fig. 3I). Lisse, non sillonnée, souvent un peu abrupte en arrière, à constriction collaire faible; fovéole interoculaire absente. Prorostre lisse, cylindrique, égal à 2,75-3,45 × la longueur du mésorostre et du métarostre réunis. Métarostre

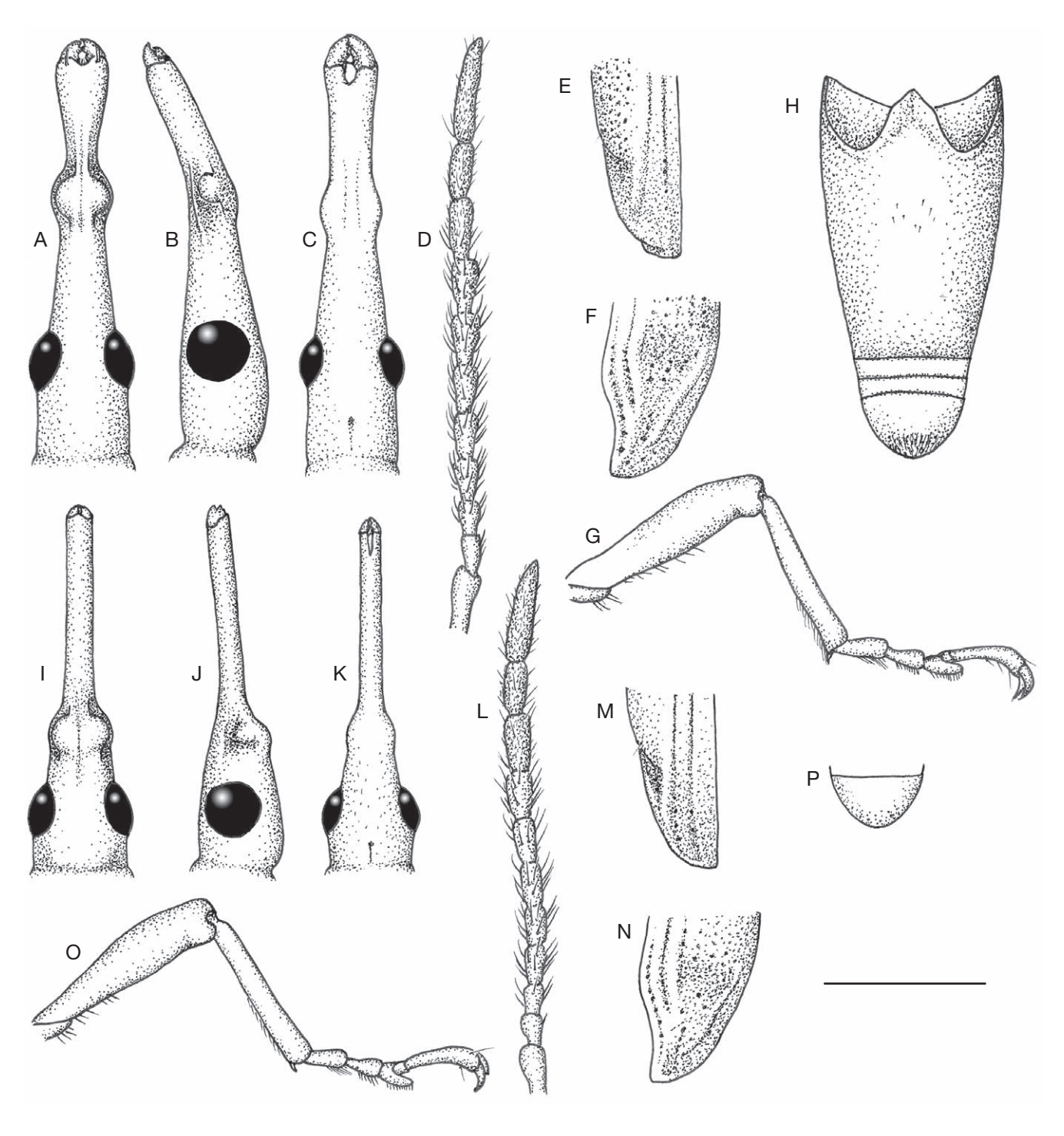


Fig. 3. — Neacratus viridis n. sp., détails morphologiques: A-H, σ : A-C, tête vue dorsale (A), vue latérale gauche (B), vue ventrale (C); D, antenne droite; E, F, apex de l'élytre gauche vue dorsale (E), vue latérale (F); G, patte postérieure gauche, vue latérale; H, sternites III-VII, vue ventrale; I-P, 🔾: I-K, tête, vue dorsale (I), vue latérale gauche (J), vue ventrale (K); L, antenne droite; M-N, apex de l'élytre gauche, vue dorsale (M), vue latérale (N); O, patte postérieure gauche, vue latérale; P, sternite VII, vue ventrale. Échelle: 2 mm.

lisse, non caréné sur les côtés, à léger sillon longitudinal médian. Longueur des yeux égale à 1,54-1,75 × celle des tempes. Côtés et dessous de la tête et du métarostre sans pores sensoriels (Fig. 3B, C). Dessous de la tête avec la suture gulaire bien marquée, se terminant en avant par une fovéole post-oculaire médiane. Articles antennaires 3-8 plus longs que larges, un peu élargis à l'apex, à épaisses soies noires (Fig. 3L); antennomères 9-10 subcylindriques, bien plus longs que larges, couverts de courtes soies claires; article 9 égal à 1,25-1,31 × la longueur de l'article 8; article 11 égal à 1,50-1,58 x la longueur de l'article 9.

Thorax. Pronotum, élytres (Fig. 3M, N) et pattes comme le mâle, mais les métafémurs non aplatis (Fig. 3O).

Abdomen. Sternites III-VII de l'abdomen comme le mâle, mais le sternite III toujours complètement glabre, le sternite VII (Fig. 3P) non pubescent à l'apex. Tergite VIII (Fig. 8C, D) avec 7-9 longues dents disposées un peu en éventail. Épipleurites VIII (Fig. 8E) avec une grande glande accessoire. Dans le prolongement des coxites IX (Fig. 8A, B), deux grandes poches génitales contenant de très nombreux petits éléments discoïdaux cupuliformes. Spermathèque falciforme, sans constrictions à la base. Vagin non sclérifié.

REMARQUES

Neacratus viridis n. sp. correspond en tous points à ce que Robert Kleine identifie généralement dans les collections comme «Acratus suturalis», et à ce que Soares (1970: 241) nomme aussi «Acratus suturalis», ces deux auteurs confondant plusieurs espèces sous ce nom. Il a été montré (Mantilleri 2015a) que le concept d'Acratus suturalis utilisé par Soares (1970) était erroné, ce dernier n'ayant pas examiné le type de Brentus suturalis ni, semble-t-il, la description originale de Lund (1800) qui stipule bien clairement «elytris acuminatis». La description donnée par Soares pour A. suturalis mentionne en effet «Élitros [...] posteriormente obliquamente truncados e com ângulo externo rombo» (élytres obliquement tronqués à l'apex, l'angle externe obtus) et la figure 97 montre nettement un apex élytral non acuminé, ce qui ne correspond pas du tout au type.

Neacratus viridis n. sp. semble être un des Acratini les plus communs de Guyane et du bassin Amazonien. Soares (1970: 241), sous le nom d'A. suturalis, le considère comme relativement commun. Il a été collecté en nombre dans le massif du Mitaraka comme sur le site de la montagne des Chevaux. Les spécimens du Brésil (Fig. 6D-F) ont des genitalia tout à fait semblables à ceux de Guyane (Fig. 6A-C), mais leurs antennes semblent être en moyenne plus allongées et à soies moins épaisses; les exemplaires brésiliens n'ont donc pas été inclus dans la série typique afin d'éliminer tout risque de constitution d'une série-type composite s'ils venaient à être considérés comme une unité taxonomique distincte de celle de Guyane. Neacratus viridis n. sp. est très proche d'une autre espèce inédite du Brésil, présentant le même patron de coloration mais à antennes plus allongées et genitalia mâles bien différents, présente de l'Amazone au Minas Gerais (et donc en moyenne plus méridionale). Neacratus viridis n. sp. se rapproche aussi de N. erectus (Kleine, 1927), décrit d'Équateur, avec lequel il partage d'assez nombreux caractères: tête, antennes, pattes et sternites III-VII sont très semblables chez ces deux taxa. Le patron de coloration est cependant très différent, N. erectus étant brun sombre à noirâtre, les fémurs avec un anneau rouge.

Les nombreux petits éléments discoïdaux cupuliformes présents dans les poches génitales des femelles de *Neacratus viridis* n. sp. (Fig. 8A, B) sont de nature énigmatique pour l'instant. Je pense que l'hypothèse de spores de champignons dus à une mauvaise conservation des spécimens, envisagée au premier abord, peut être éliminée: les femelles disséquées présentent en effet ces spores uniquement dans ces organes. Il est en revanche possible que nous soyons en présence de spores de champignons transportées par les femelles dans leurs

poches génitales. Elles pourraient alors inséminer le bois mort en même temps qu'elles pondent, fournissant ainsi un substrat de croissance favorable à leurs larves saproxyliques. D'autres Coléoptères tels que les Curculionidae Scolytinae et Platypodinae sont bien connus pour inoculer des champignons dans les bois morts qu'ils colonisent (Farrell et al. 2001), se nourrissant du mycélium attaquant le phloème. Plus récemment, la « culture » de champignons par des Coléoptères non grégaires a été montrée chez un Erotylidae Languriinae (Toki et al. 2012) ou encore un Attelabidae (Wang et al. 2015). Mais les structures (mycangia) mises en évidence chez ces Coléoptères pour le transport des spores sont toujours d'origine externe (bien que situées à la face inférieure du tergite VIII chez le Languriinae Doubledaya bucculenta Lewis, 1884). Des mycangia «internes», vraiment associés au tractus génital, seraient tout à fait inédits et une adaptation remarquable à un régime alimentaire saproxylique. Des recherches complémentaires sont à mener pour confirmer cette hypothèse.

Neacratus sp.

Remarque

Une femelle isolée, appartenant probablement à une nouvelle espèce, a été collectée entre le 12 et le 20.VIII.2015. Mais en l'absence de mâle, toute conclusion serait pour l'instant prématurée.

Genre Nemobrenthus Sharp, 1895

Nemobrenthus aeneipennis Sharp, 1895

Nemobrenthus aeneipennis Sharp, 1895: 72.

MATÉRIEL EXAMINÉ. — **Guyane**. 1 9, massif du Mitaraka (*c*. 2°14'N, 54°27'O), 25.II-26.III.2015; La Planète revisitée, MNHN/PNI Guyane 2015 (APA-973-1) (MNHN).

Genre Parateramocerus Mantilleri, 2015

Parateramocerus teko n. sp. (Figs 1C, D; 4; 7A-C; 9A-D)

urn:lsid:zoobank.org:act:EE12A048-B305-4C70-BFB5-9B5576529561

MATÉRIEL TYPE. — **Holotype**. & G., «Guyane française, massif du Mitaraka, c. 2°14'N, 54°27'O, 25.II-26.III.2015; La Planète revisitée, MNHN/PNI Guyane 2015 (APA-973-1); prép. micro. n°AM00359; MNHN-EC-EC8342».

Paratypes. 3 \(\, \); idem holotype, prép. micro. n°AM00358 et AM00405, MNHN-EC-EC8343, MNHN-EC-EC8344, MNHN-EC-EC8345; 1 \(\, \), montagne des Chevaux (4°43'N, 52°25'O), 15.II.2009, S. Brûlé, P.-H. Dalens & E. Poirier leg. (coll. AM); 1 \(\, \); idem, 28.II.2010 (coll. AM).

ÉTYMOLOGIE. — L'épithète spécifique est donnée en référence au peuple Teko, autrefois appelé Émerillons, vivant dans la partie sud de la Guyane (Camargo 1998). Nom en apposition.

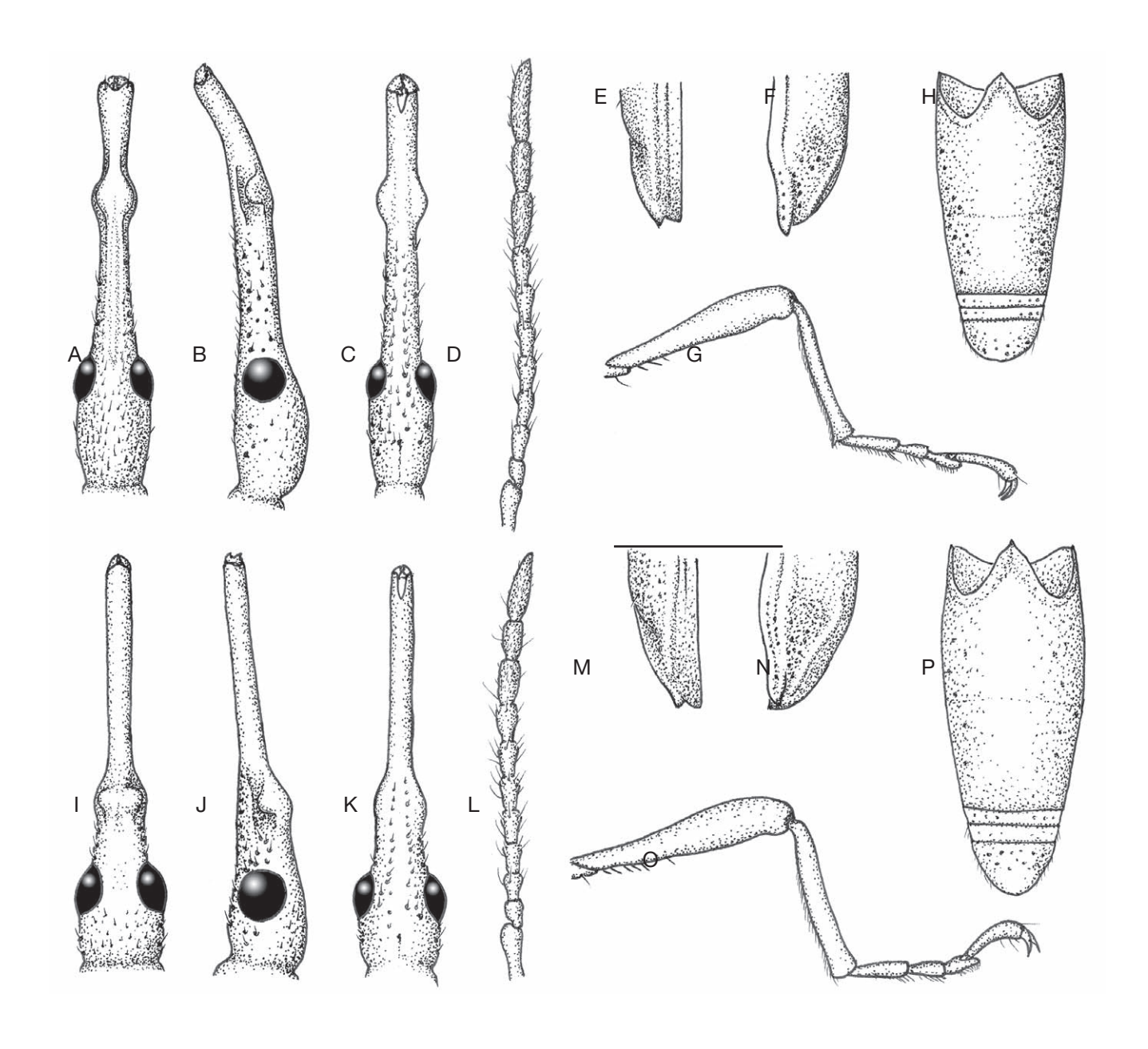


Fig. 4. — Parateramocerus teko n. sp., détails morphologiques: A-H, σ ; A-C, tête, vue dorsale (A); vue latérale gauche (B), vue ventrale (C); D, antenne droite; E, F, apex de l'élytre gauche, vue dorsale (E); vue latérale (F); G, patte postérieure gauche, vue latérale; H, sternites III-VII, vue ventrale; I-P, Q; I-K, tête vue dorsale (I), vue latérale gauche (J), vue ventrale (K); L, antenne droite; M-N, apex de l'élytre gauche vue dorsale (M), vue latérale (N); O, patte postérieure gauche, vue latérale; P, sternites III-VII, vue ventrale. Échelle: 2 mm.

LOCALITÉ-TYPE. — Guyane, massif du Mitaraka, c. 2°14'N, 54°27'O.

DIAGNOSE. — Élytres vert métallique, pronotum entièrement brun-rouge; tête lisse; scutellum fovéolé; métafémurs pédonculés, aplatis en lame à la base chez le mâle; tegmen à lobes paraméroïdes avec une forte soie apicale; base des coxites élargie en lame aplatie.

DESCRIPTION

Mâle

Mesures. Longueur de l'extrémité du rostre à l'apex des élytres : 16,3 mm; longueur de l'apex du pronotum à l'extrémité des élytres: 10,7 mm; largeur entre les calus huméraux: 1,8 mm. Tout le corps (faces dorsale et ventrale) brun-rouge, sauf le côté des élytres vert métallique (Fig. 1C).

Tête (Fig. 4A). Lisse, non sillonnée, progressivement rétrécie en arrière, à constriction collaire faible, la base non anguleuse; fovéole interoculaire absente. Prorostre égal à 0,62 × la longueur du mésorostre et du métarostre réunis, élargi et échancré à l'apex avec quelques longues soies paramédianes, la base avec un large sillon peu profond, légèrement carénée sur les côtés. Métarostre non sillonné, lisse, légèrement caréné de chaque côté. Longueur des yeux égale à 0,64 × celle des tempes. Côtés de la tête (Fig. 4B) sans pores sensoriels; côtés du métarostre avec quelques pores sensoriels peu marqués. Dessous de la tête (Fig. 4C) avec la suture gulaire bien marquée, se terminant en avant par une fovéole post-oculaire médiane; partie antérieure de la tête avec de petits pores sensoriels pubescents,

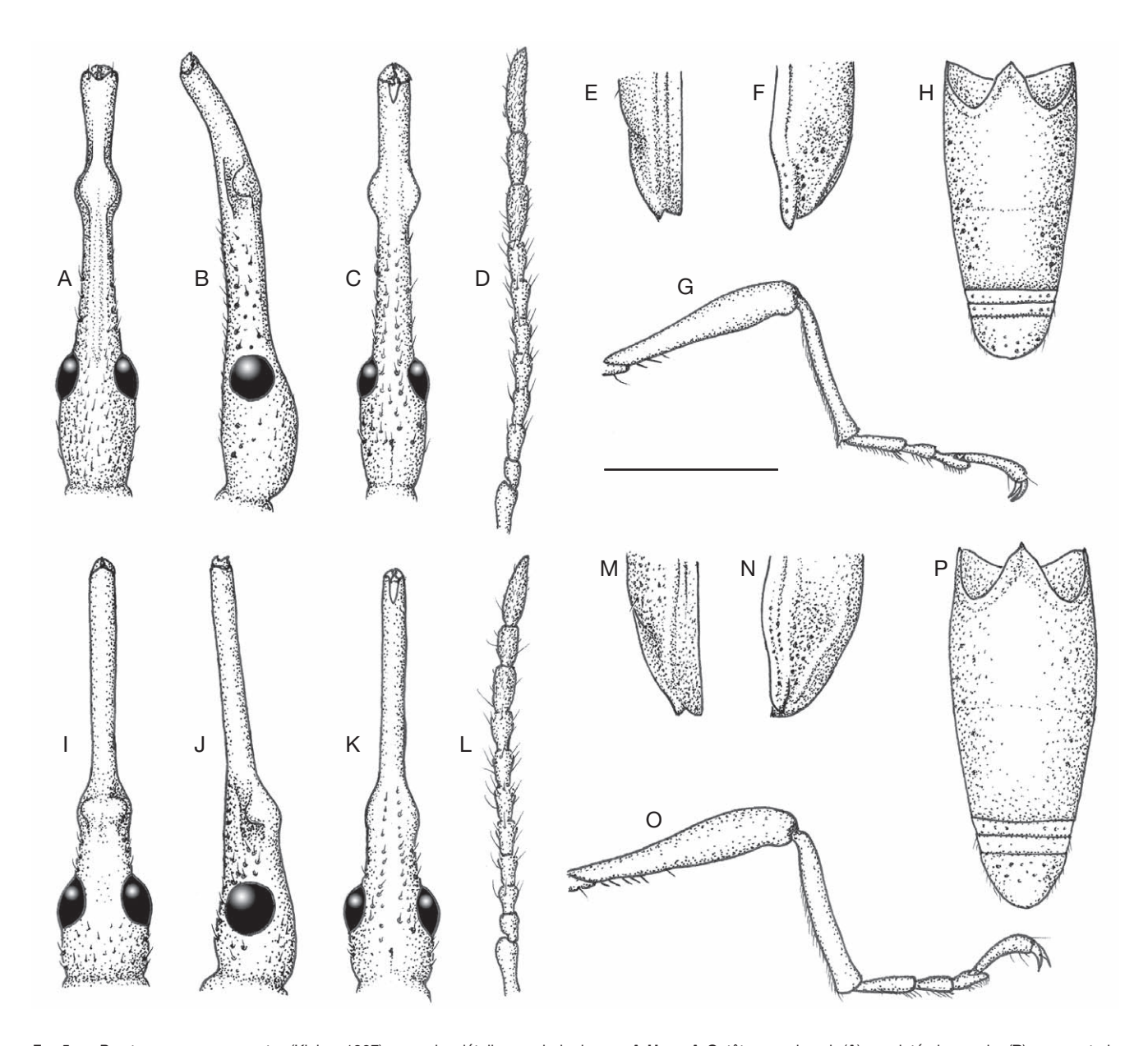


Fig. 5. — Parateramocerus enervatus (Kleine, 1927) n. comb., détails morphologiques: A-H, ♂; A-C, tête, vue dorsale (A); vue latérale gauche (B), vue ventrale (C); D, antenne droite; E, F, apex de l'élytre gauche vue dorsale (E), vue latérale (F); G, patte postérieure gauche, vue latérale; H, sternites III-VII, vue ventrale; I-P, ♀; I-K, tête vue dorsale (I), vue latérale gauche (J), vue ventrale (K); L, antenne droite; M, N, apex de l'élytre gauche vue dorsale (M), vue latérale (N); O, patte postérieure gauche, vue latérale; P, sternite III-VII, vue ventrale. Échelle: 2 mm.

assez nombreux et disposés sans ordre. Dessous du métarostre (Fig. 4C) avec d'abondants petits pores sensoriels pubescents s'étendant jusque sous le mésorostre. Dessous du prorostre sans pores sensoriels, avec une forte carène longitudinale médiane. Articles antennaires 3-8 bien plus longs que larges, un peu élargis à l'apex, à soies apicales fines, éparses (Fig. 4D); antennomères 9-10 subcylindriques, un peu rétrécis à la base et à l'apex, bien plus longs que larges; article 9 égal à 1,35 × la longueur du 8e; article 11 égal à 1,63 × la longueur du 9e.

Thorax. Pronotum 2,38 × plus long que large, sillonné longitudinalement, non ponctué. Scutellum non inséré entre les élytres à la base, avec une profonde fovéole. Élytres sans fossette ni profonde dépression à la base au niveau de l'insertion sur le

mésonotum; base en pente régulière. Stries 1-2 marquées, mais la strie 2 n'atteignant pas la base des élytres; stries 3-8 indistinctes; strie 9 bien marquée sur la moitié postérieure, n'atteignant pas la base; strie 10 profonde à la base, disparaissant à l'apex. Apex des élytres (Fig. 4E, F) avec une courte dent aiguë, de section circulaire, non aplatie, formée par les interstries 3, 9 et 10. Prosternellum distinct; suture prosternale visible. Métanépisternes non ponctués. Métasternum lisse, non sillonné, à peine fovéolé en avant des métacoxae. Coxae glabres. Trochanters avec deux soies. Fémurs pédonculés; pro- et mésofémurs avec une dépression longitudinale sur la face externe; métafémurs (Fig. 4G) non déprimés sur les côtés, le pédoncule fortement aplati latéralement, avec des soies raides subspiniformes à la base, en face ventrale. Ensemble des protarses plus long que

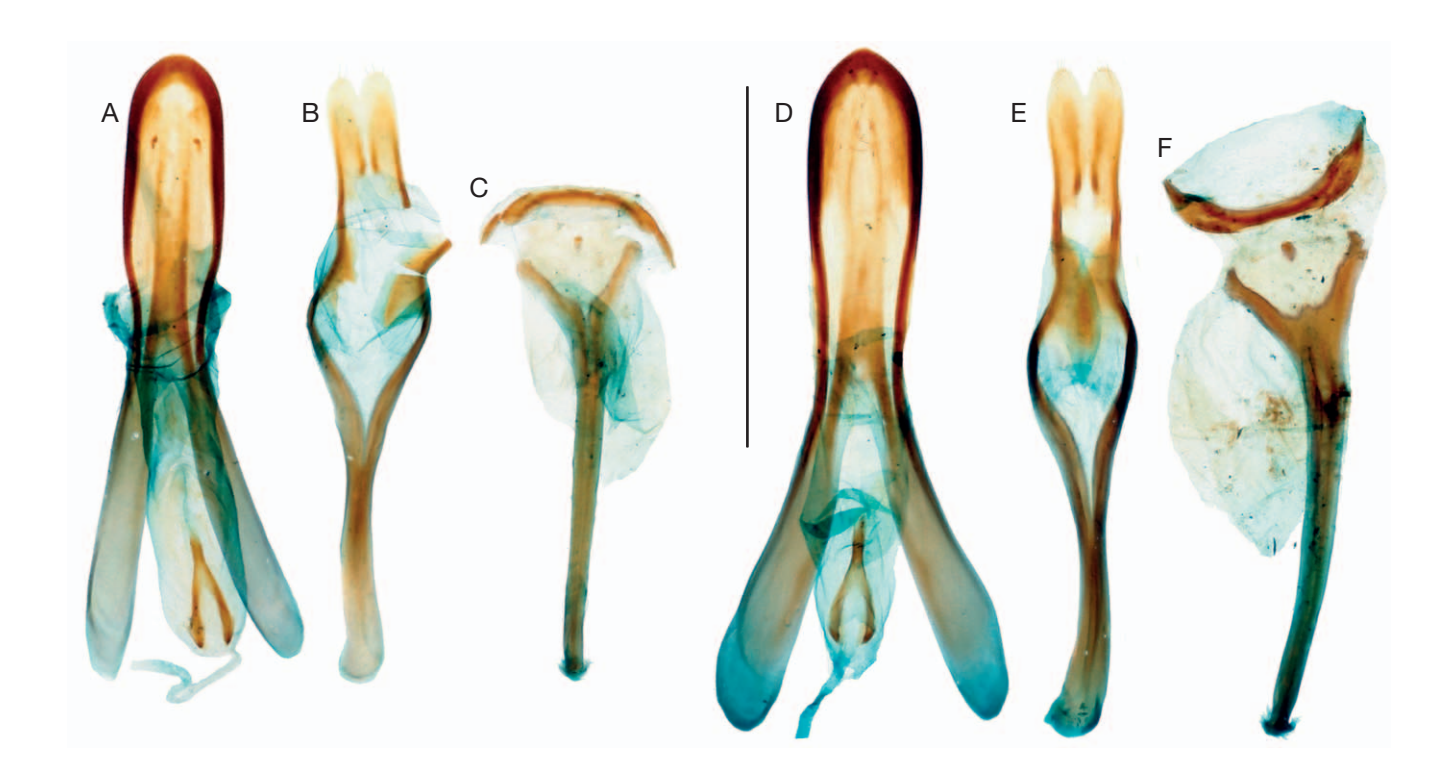


Fig. 6. — Genitalia mâles (de gauche à droite: pénis, tegmen et sternites VIII-IX): A-C, Neacratus viridis n. sp., paratype EC8320, prép. micro. n°AM00401, de Guyane; D-F, Neacratus viridis n. sp., prép. micro. n°AM00400, de Tefé au Brésil. Échelle: 1 mm.

l'ensemble des métatarses. Premier tarsomère plus long que large, plus court que les tarsomères 2-3 réunis, ces derniers avec une impression sur la face supérieure.

Abdomen (Fig. 4H). Abdomen à sternite III avec quelques fines soies; sternites III-IV lisses, non déprimés; sternites V-VI lisses; sternite VII presque entièrement lisse, pubescent à l'apex. Tergites membraneux clairs. Sternites VIII-IX (Fig. 7C) avec une petite sclérification entre eux. Tegmen (Fig. 7B) à lobes paraméroïdes bien développés, avec une unique forte soie apicale. Pénis (Fig. 7A) faiblement pointu à l'apex, à témones aussi longs que la partie distale. Frena absents. Endophallus avec deux longues baguettes paramédianes, sans sclérite médian ni spicules.

Femelle

Mesures. Longueur de l'extrémité du rostre à l'apex des élytres : 9,8-15,2 mm; longueur de l'apex du pronotum à l'extrémité des élytres: 6,6-10,8 mm; largeur entre les calus huméraux: 1,1-1,7 mm. Coloration comme le mâle (Fig. 1D).

Tête (Fig. 4I). Lisse, non sillonnée, à constriction collaire faible, la base non anguleuse; fovéole interoculaire absente. Prorostre lisse, cylindrique, égal à 2,48-2,67 × la longueur du mésorostre et du métarostre réunis. Métarostre lisse, un peu caréné sur les côtés à très faible sillon longitudinal médian. Longueur des yeux égale à 1,25-1,40 × celle des tempes. Côtés de la tête (Fig. 4J) sans pores sensoriels; côtés du métarostre avec quelques pores sensoriels bien visibles. Dessous de la tête (Fig. 4K) avec la suture gulaire bien marquée, se terminant en

avant par une fovéole post-oculaire médiane; partie antérieure de la tête et métarostre avec quelques petits pores sensoriels peu distincts atteignant le mésorostre. Articles antennaires 3-8 plus longs que larges, un peu élargis à l'apex, avec quelques fines soies apicales (Fig. 4L); antennomères 9-10 subcylindriques, un peu rétrécis à la base et à l'apex, bien plus longs que larges; article 9 égal à 1,35-1,42 × la longueur du 8e; article 11 égal à 1,47-1,52 × la longueur du 9e.

Thorax. Pronotum et pattes comme le mâle, le pédoncule des métafémurs non aplati (Fig. 4O), avec une dépression longitudinale sur la face externe, les élytres à pointe apicale plus courte (Fig. 4M, N).

Abdomen. Sternites III-VII de l'abdomen (Fig. 4P) comme le mâle, mais le sternite III glabre. Tergite VIII (Fig. 9B, C) avec 10-11 longues dents apicales serrées. Épipleurites VIII (Fig. 9D) avec une grande glande accessoire. Base des coxites (Fig. 9A) nettement élargie. Spermathèque falciforme, sans constrictions à la base. Vagin non sclérifié.

REMARQUES

Par la présence d'une profonde fovéole sur le scutellum, d'élytres vert métallique prolongés par une pointe, et de soies raides un peu épineuses sous le pédoncule des métafémurs, Parater*amocerus teko* n. sp. se rapproche du clade formé par les genres Parateramocerus, Teramoceroides Mantilleri, 2015 et Teramocerus Schoenherr, 1840 (Mantilleri 2015c). Elle est rattachée au genre Parateramocerus (peut-être provisoirement) et semble proche de Parateramocerus goianus (Soares & Dias, 1971), connu du



Fig. 7. — Genitalia mâles (de gauche à droite: pénis, tegmen et sternites VIII-IX): **A-C**, *Parateramocerus tek*o n. sp., holotype; **D-F**, *Proteramocerus enervatus* Kleine, 1927 lectotype; **G, H**, *P. affinis* Soares & Dias, 1971 holotype; **I-K**, *Parateramocerus enervatus* (Kleine, 1927) n. comb., prép. micro. n°AM00397, de Guyane. Échelle: 1 mm.

Brésil (États de Goiás et Mato Grosso) avec lequel elle partage des genitalia mâles très semblables, présentant deux longues baguettes paramédianes au niveau de la partie proximale de l'endophallus et des frena réduits. Elle s'en distingue cependant très nettement par la carène sub-prorostrale très élevée, le rostre nettement moins allongé et les métafémurs du mâle nettement aplatis latéralement en lame à la base. Quant à *Parateramocerus rondonianus* Mantilleri, 2016, le mâle présente des soies sur le sternite III, a des témones nettement plus courts que la partie distale du pénis et ne possède pas de longues baguettes paramédianes au niveau de la partie proximale de l'endophallus.

Parateramocerus enervatus (Kleine, 1927) n. comb. (Figs 2; 5; 7D-K; 9E-H)

Proteramocerus enervatus Kleine, 1927a: 449; 1927b: 55; 1938: 127. — Blackwelder 1947: 774. — Sforzi & Bartolozzi 2004: 584.

Proteramocerus affinis Soares & Dias, 1971: 49, n. syn. — Sforzi & Bartolozzi 2004: 582.

MATÉRIEL EXAMINÉ. — **Brésil**. & lectotype de *Proteramocerus enervatus*, désigné par Sforzi & Bartolozzi (2004), Para, Bates, felled trees, prép. micro. n°AM-NHM 00015 (NHM); & holotype de *P. affinis*, Tabatinga, Amazonas, Brasil, X.1956, F. M. Oliveira, prép. micro.

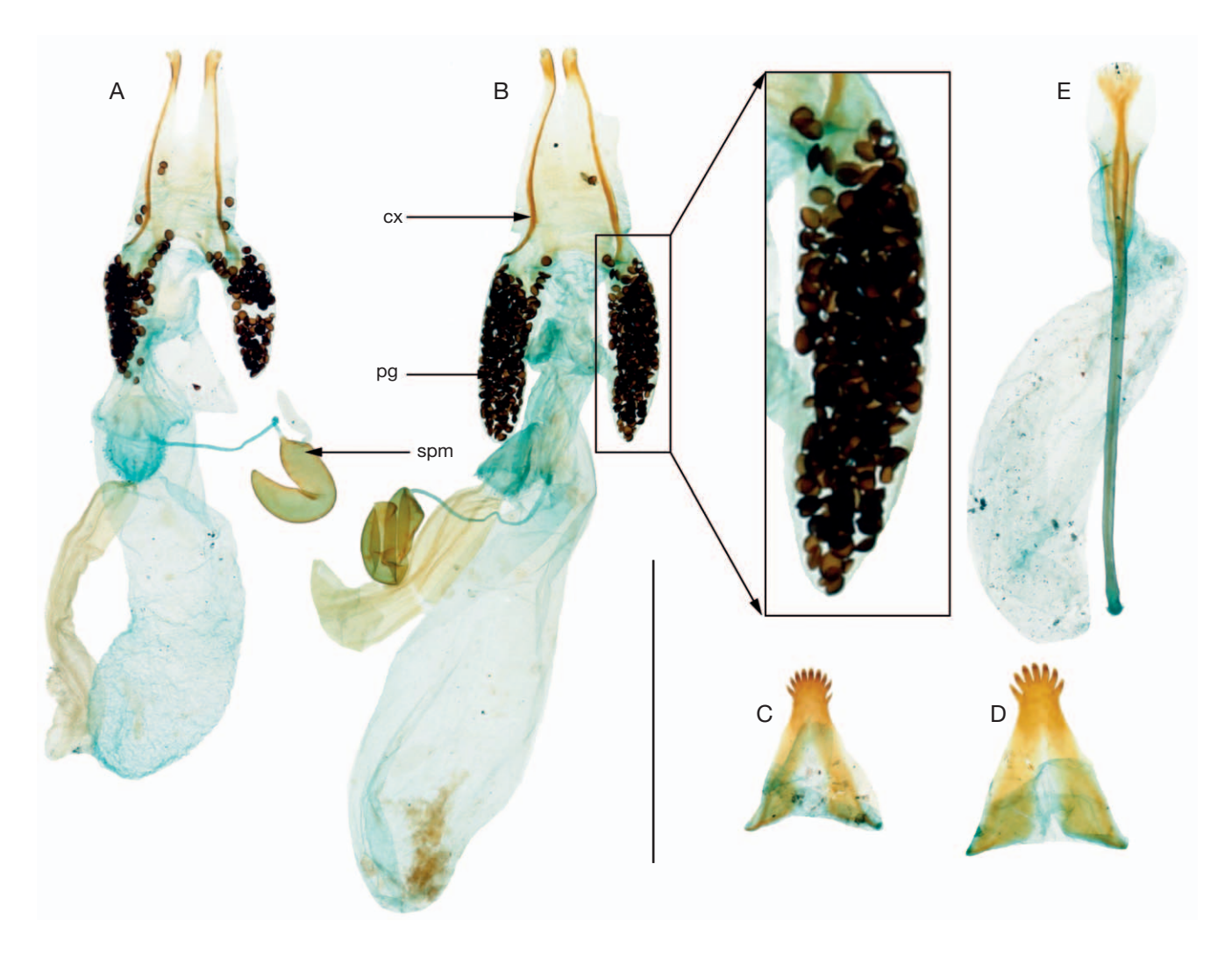


Fig. 8. — Genitalia femelles: A-F, Neacratus viridis n. sp.: A, B, tractus génital, prép. micro. n°AM402, paratype EC8321 de Guyane (A); prép. micro. n°AM00403, spécimen de Tefé au Brésil (B); C, D, tergite VIII (prép. micro. n°AM00402, paratype de Guyane (C); prép. micro. n°AM00403, spécimen de Tefé au Brésil (D); E, épipleurites VIII, prép. micro. n°AM00402, paratype de Guyane. Abréviations: cx, coxites IX; pg, poche génitale; spm, spermathèque. Échelle: 1 mm.

n°AM-MNRJ 00012 (MNRJ); 1 9. État d'Amazonas, Fonteboa (2°31'S, 66°06'O), Hahnel, prép. micro. n°AM00398 (MNHN); 1 ♂, État d'Amazonas, H. W. Bates (MNHN); 1 ♀, État d'Amazonas, São Paulo de Olivença (3°27'S, 68°56'O), V-VII.1883, M. de Mathan (MNHN); 19, État d'Amazonas, Tefé (3°21'S, 64°43'O), 1.X.1878-31.III.1879, M. de Mathan (MNHN).

Guyane. 1 &, massif du Mitaraka (c. 2°14'N, 54°27'O), 12-20. VIII.2015; La Planète revisitée, MNHN/PNI Guyane 2015 (APA-973-1), prép. micro. n°AM00397 (MNHN); 1 9, montagne des Chevaux (4°43'N, 52°25'O), 22.I.2012, S. Brûlé, P.-H. Dalens & E. Poirier leg. (coll. AM); 1 &, idem, 24.III.2013 (coll. AM). Pérou. 1 Q, Région de San Martín, Tarapoto (6°29'S, 76°21'O), V-VIII.1886, M. de Mathan (MNHN).

REDESCRIPTION

Mâle

Mesures. Longueur de l'extrémité du rostre à l'apex des élytres : 14,0-14,7 mm; longueur de l'apex du pronotum à l'extrémité des élytres: 9,2-9,5 mm; largeur entre les calus huméraux: 1,4-1,5 mm. Tout le corps (faces dorsale et ventrale) brunrouge, sauf le côté des élytres gris-vert métallique peu brillant (Fig. 2A-C).

Tête (Fig. 5A). Finement ponctuée, microréticulée, avec de courtes soies, non sillonnée, subcylindrique, à constriction collaire assez nette, la base non anguleuse; fovéole interoculaire distincte. Prorostre égal à 0,56-0,59 x le longueur du métarostre et du mésorostre réunis, échancré et un peu élargi à l'apex, avec des soies paramédianes; base du prorostre non sillonnée mais avec des carènes latérales. Métarostre avec une légère carène médiane peu marquée et deux carènes latérales bien nettes. Longueur des yeux égale à 0,45-0,54 × celle des tempes. Côtés de la tête et du métarostre (Fig. 5B) avec des pores sensoriels bien marqués. Dessous de la tête (Fig. 5C) avec la suture gulaire bien marquée, se terminant en avant par une fovéole post-oculaire médiane; présence de nombreux pores sensoriels. Dessous du métarostre (Fig. 5C) avec des pores sensoriels plus ou moins disposés sur deux rangées, à soies courtes, atteignant en avant au maximum le mésorostre. Dessous du prorostre sans pores sensoriels, lisse. Articles antennaires 3-8 plus longs que larges, un peu élargis à l'apex, à soies apicales fines, éparses (Fig. 5D); antennomères 9-10 subcylindriques, bien plus longs que larges;

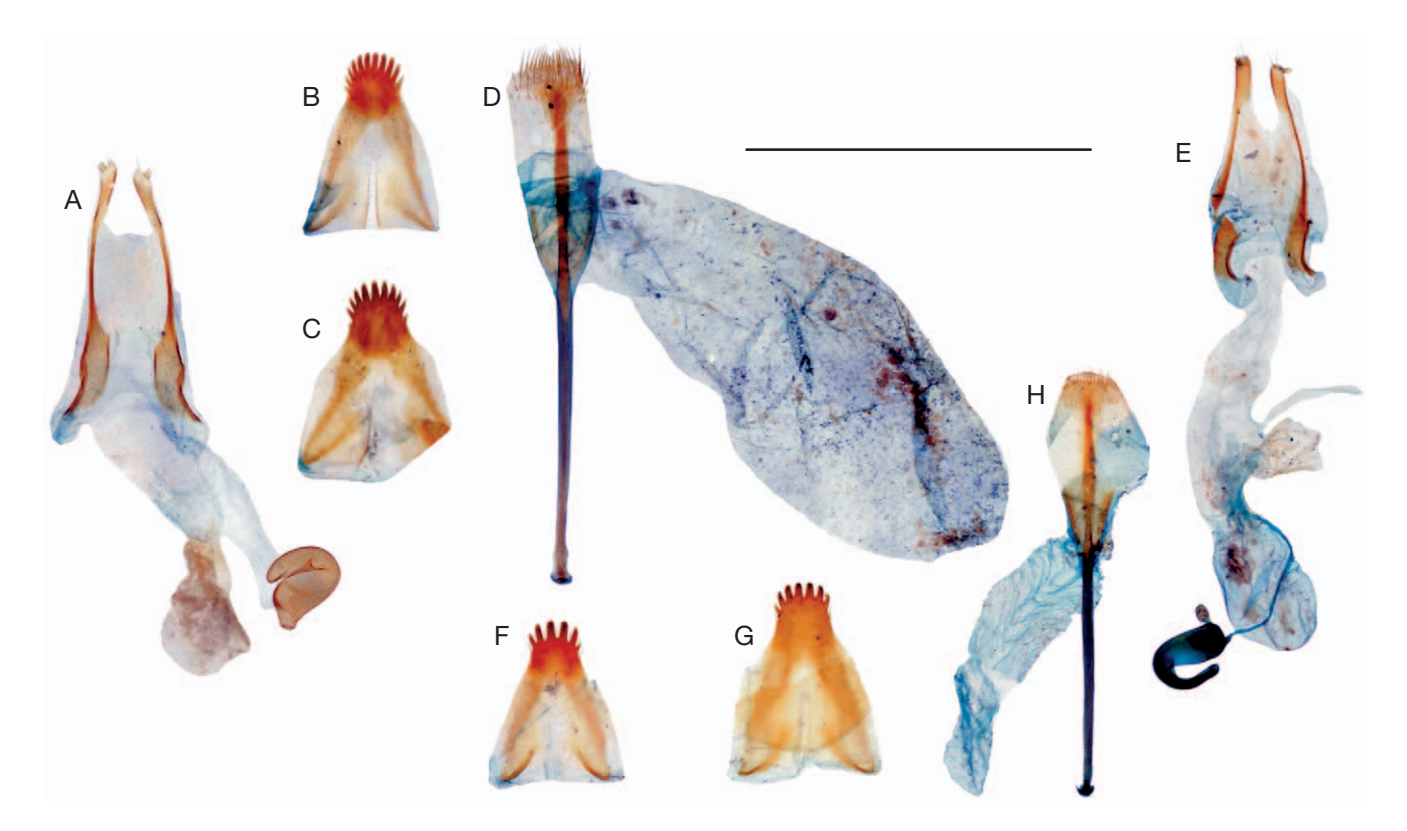


Fig. 9. — Genitalia femelles: A-D, Parateramocerus teko n. sp., paratypes: A, tractus génital; B, C, tergite VIII; D, épipleurites VIII; E-H, Parateramocerus enervatus (Kleine, 1927) n. comb. de Guyane: E, tractus génital; F, G, tergite VIII; H, épipleurites VIII. Échelle: 1 mm.

article 9 égal à $1,33-1,55 \times$ la longueur du 8° ; article 11 égal à $1,46-1,62 \times$ la longueur du 9° .

Thorax. Pronotum 2,20-2,35 × plus long que large, sillonné longitudinalement, microréticulé, finement ponctué et sétulé comme la tête. Scutellum profondément fovéolé, non inséré entre les élytres à la base. Élytres sans fossette ni profonde dépression à la base au niveau de l'insertion sur le mésonotum; base en pente assez raide. Stries 1-2 marquées, mais la strie 2 n'atteignant généralement pas la base des élytres; stries 3-8 peu distinctes, marquées par des lignes de fines ponctuations courtement sétulées; strie 9 bien marquée sur la moitié postérieure, n'atteignant pas la base; strie 10 profonde à la base, disparaissant à l'apex. Apex des élytres (Fig. 5E, F) avec une courte dent aplatie formée par le prolongement des interstries 10 et 11. Prosternellum distinct; suture prosternale visible. Métanépisternes ponctués. Métasternum généralement nettement ponctué sur les côtés, cette ponctuation parfois plus faible; pas de sillon longitudinal médian, légère dépression en avant des métacoxae. Coxae glabres. Trochanters avec une ou deux soies. Fémurs pédonculés, pas fortement aplatis latéralement, non déprimés longitudinalement sur leur face externe, la base des métafémurs (Fig. 5G) avec des soies raides sur la face inférieure. Ensemble des protarses plus long que l'ensemble des métatarses. Premier tarsomère plus long que large, plus court que les tarsomères 2-3 réunis, ces derniers avec une impression sur la face supérieure.

Abdomen (Fig. 5H). Sternites III-IV presque glabres, ponctués sur les côtés, non déprimés; sternites V-VI plus ou moins ponctués; sternite VII ponctué, faiblement pubescent. Tergites membraneux clairs. Sternites VIII-IX (Fig. 7F, K) avec une sclérification triangulaire entre eux. Tegmen (Fig. 7E, H, J) à lobes paraméroïdes peu allongés, avec quelques soies apicales fines, assez courtes. Pénis (Fig. 7D, G, I) arrondi à l'apex, à témones à peu près aussi longs que la partie distale. Frena absents. Endophallus avec deux longues baguettes paramédianes, sans sclérite médian ni spicules.

Femelle

Mesures. Longueur de l'extrémité du rostre à l'apex des élytres : 10,7-15,8 mm; longueur de l'apex du pronotum à l'extrémité des élytres : 7,3-10,8 mm; largeur entre les calus huméraux : 1,2-1,7 mm. Coloration comme le mâle (Fig. 2D).

Tête (Fig. 5I). Finement ponctuée, microréticulée, avec de courtes soies, non sillonnée, à constriction collaire assez nette, la base non anguleuse; fovéole interoculaire distincte. Prorostre lisse, cylindrique, égal à 2,66-2,75 × la longueur du mésorostre et du métarostre réunis. Métarostre microréticulé, un peu caréné sur les côtés, non sillonné, parfois la carène médiane visible. Longueur des yeux égale à 0,80-0,85 × celle des tempes. Côtés de la tête et du métarostre (Fig. 5J) avec des pores sensoriels. Dessous de la tête avec la suture gulaire bien marquée, se terminant en avant par une fovéole post-oculaire médiane; partie antérieure de la tête et métarostre avec des

pores sensoriels atteignant le mésorostre (Fig. 5K). Articles antennaires 3-8 plus longs que larges, un peu élargis à l'apex, avec quelques fines soies apicales (Fig. 5L); antennomères 9-10 subcylindriques, plus longs que larges; article 9 égal à 1,17-1,35 × la longueur du 8e; article 11 égal à 1,55-1,62 × la longueur du 9e.

Thorax et pattes (Fig. 5O). Comme le mâle, les élytres à pointe apicale plus réduite (Fig. 5M, N), parfois manquante (Fig. 2D).

Abdomen. Sternites III-VII de l'abdomen (Fig. 5P) comme le mâle, un peu moins nettement ponctués. Tergite VIII (Fig. 9F, G) avec 6 ou 7 dents assez larges, émoussées. Épipleurites VIII (Fig. 9H) avec une grande glande accessoire. Base des coxites (Fig. 9E) nettement élargie. Spermathèque falciforme, sans constrictions à la base. Vagin sans sclérification.

REMARQUES

D'après Soares & Dias (1971), Proteramocerus affinis se différencie de Proteramocerus enervatus par l'absence de ponctuations sur le métasternum et l'abdomen, par la tête sans grosses ponctuations sur les côtés et dessous et par la coloration rougeâtre des pattes et de la face ventrale du corps. Les différences de ponctuation du métasternum et de l'abdomen sont en effet bien nettes entre les deux spécimenstypes. Mais l'examen de matériel additionnel montre toute une gamme de variation entre ces deux extrêmes. Quant à la coloration, elle est effectivement un peu plus claire chez l'holotype de *P. affinis* mais reste très semblable entre les deux spécimens. Le thorax et la tête de l'holotype de P. affinis étant manquants, je n'ai donc pas pu examiner les caractères des pores sensoriels. J'ai en revanche pu effectuer la dissection des genitalia. Ils sont très semblables chez les deux individus (Fig. 7D, E, G, H), en particulier au niveau du pénis et des sclérites proximaux de l'endophallus; le lectotype de Proteramocerus enervatus présente cinq soies à l'apex des lobes paraméroïdes, l'holotype de P. affinis en ayant trois. La dissection d'un autre mâle (préparation microscopique n°AM00397: Fig. 7I-K), supposé appartenir à la même espèce que Proteramocerus enervatus, a révélé un nombre de quatre soies apicales. Ces divers éléments semblent bien montrer qu'il n'y a pas de différence nette entre ces deux taxa et je propose donc la nouvelle synonymie suivante: Proteramocerus affinis Soares & Dias, 1971, n. syn. de Proteramocerus enervatus Kleine, 1927.

Pour les mêmes raisons évoquées ci-avant pour Parateramocerus teko n. sp., Proteramocerus enervatus est rattaché au genre Parateramocerus. Ses genitalia mâles, par la conformation des sclérites de l'endophallus, se rapprochent de ceux de P. teko n. sp. et P. goianus; la forme de la base des coxites, en lame aplatie, est partagée avec P. teko n. sp. et on ne connaît pour l'instant cet état de caractère chez aucun autre Acratini.

Parateramocerus enervatus n. comb. est probablement répandu au moins dans toute la partie nord du bassin Amazonien. Il est cité ici pour la première fois de Guyane et du Pérou.

Genre Rugosacratus Mantilleri, 2015

Rugosacratus eximius Mantilleri, 2015

Rugosacratus eximius Mantilleri, 2015c: 273.

MATÉRIEL EXAMINÉ. — Guyane. 1 σ et 1 φ paratypes, massif du Mitaraka (c. 2°14'N, 54°27'O), 25.II-26.III.2015; La Planète revisitée, MNHN/PNI Guyane 2015 (APA-973-1) (MNHN); 1 &, idem, 12-20.VIII.2015 (MNHN).

Rugosacratus punctirostris (Boheman, 1840)

Teramocerus punctirostris Boheman in Schoenherr, 1840: 566.

Rugosacratus punctirostris - Mantilleri 2015c: 274.

MATÉRIEL EXAMINÉ. — Guyane. 2 & et 1 \, massif du Mitaraka (c. 2°14'N, 54°27'O), 25.II-26.III.2015; La Planète revisitée, MNHN/ PNI Guyane 2015 (APA-973-1) (MNHN).

Genre Teramocerus Schoenherr, 1840

Teramocerus pulcher (Soares & Dias, 1971)

Proteramocerus pulcher Soares & Dias, 1971: 67.

Teramocerus pulcher - Mantilleri 2015a: 312.

Matériel examiné. — Guyane. 1 &, massif du Mitaraka (c. 2°14'N, 54°27'O), 25.II-26.III.2015; La Planète revisitée, MNHN/PNI Guyane 2015 (APA-973-1) (MNHN).

DISCUSSION

Au total, onze espèces d'Acratini ont été collectées en 2015 dans le massif du Mitaraka, neuf étant nouvelles pour la Guyane (dix si l'on compte la femelle non nommée du genre Neacratus). Cette proportion très élevée montre à elle seule combien cette faune est méconnue. Le nombre total d'espèces connues de Guyane pour cette tribu se monte donc actuellement à 21 (22 en comptant la femelle Neacratus sp.), réparties en sept genres. Ces nombres seront sans aucun doute amenés à rapidement changer au fur et à mesure des travaux futurs notamment sur la montagne des Chevaux (Touroult et al. 2017). Les révisions successives et la redéfinition, sur des bases phylogénétiques, des coupes génériques à l'intérieur de la tribu entraîneront aussi sans doute de profondes modifications.

Remerciements

Les spécimens étudiés ont été recueillis au cours de l'expédition «La Planète Revisitée» Guyane-2015 dans le massif du Mitaraka, dans la zone centrale du Parc amazonien de Guyane, organisée par le MNHN et Pro-Natura international. L'expédition a été financée par le Fonds européen de développement régional (FEDER), le Conseil régional de Guyane, le Conseil général de Guyane, la Direction de l'Environnement de l'Aménagement et du Logement, et le ministère de l'Éducation

nationale, de l'Enseignement supérieur et de la Recherche. Elle a été réalisée en collaboration avec le Parc amazonien de Guyane et la Société entomologique Antilles-Guyane. Mes plus vifs remerciements vont aussi à MM. Pierre-Henri Dalens et Eddy Poirier pour leur aide inestimable, aussi bien sur le terrain lors de la mission de 2015 que lors du tri des spécimens. Enfin, je remercie mes collègues Miguel Angel Alonso-Zarazaga, Robert Anderson, Andrey Frolov, Adriana Marvaldi, Massimo Meregalli, Rolf Oberprieler and Marek Wanat pour leurs commentaires constructifs concernant les poches génitales des femelles chez les Curculionoidea et plus particulièrement chez *Neacratus viridis* n. sp. ainsi que deux relecteurs anonymes pour leurs utiles suggestions.

RÉFÉRENCES

- BLACKWELDER R. E. 1947. Checklist of the coleopterous insects of Mexico, Central America, The West Indies and South America. Part 5. *Bulletin of the United States National Museum* 185: 771-777.
- Camargo É. 1998. Langues amérindiennes de Guyane française. MPEG/ORSTOM, Laboratoire de cartographie appliquée. http://www.cartographie.ird.fr/images/amazone/guyane.pdf
- FARRELL B.D., SEQUEIRA A. S., O'MEARA B. C., NORMARK B. B., CHUNG J. H. & JORDAL B. H. 2001. The evolution of agriculture in beetles (Curculionidae: Scolytinae and Platypodinae). *Evolution* 55: 2011-2027.
- KLEINE R. 1927a. Novos generos e especie da fam. Brenthidae (Coleopt.) da zona neotropica. Revista do Museu Paulista 15: 421-542.
- KLEINE R. 1927b. Coleopterorum Catalogus. Pars 89. Brenthidae. Editio secunda Junk W., Berlin: 94.
- KLEINE R. 1938. Coleoptera. Fam. Brenthidae (revision). Genera Insectorum 207: 1-197.
- LUND N. T. 1800. Nogle Arten af slaegten Brentus. Skrivter af Naturhistorie-Selskabet 5 (2): 54-91.
 MANTILLERI A. 2015a. What is Teramocerus Schoenherr, 1840?
- MANTILLERI A. 2015a. What is *Teramocerus* Schoenherr, 1840? A new definition from revision and phylogeny of the group (Insecta, Coleoptera, Brentidae). *Zoosystema* 37 (2): 285-322. https://doi.org/10.5252/z2015n2a1
- MANTILLERI A. 2015b. A revision of the genus *Nemobrenthus* Sharp (Coleoptera: Brentidae). *Neotropical Entomology* 44: 365-373.
- MANTILLERI A. 2015c. Nouveaux genres et espèces de la tribu des Acratini (Coleoptera, Brentidae). Bulletin de la Société entomologique de France 120 (3): 267-296.

- MANTILLERI A. 2016. A new genus of the tribe Acratini from the continental Neotropical region (Coleoptera: Curculionoidea, Brentidae). *Annales de la Société entomologique de France* (N. S.) 52 (3): 107-134. https://doi.org/10.1080/00379271.2016.11 97795
- MANTILLERI A. 2017. Do species of *Neacratus* with anchor-shaped sclerite of endophallus really belong to *Neacratus* (Coleoptera: Brentidae: Acratini)? *Annales de la Société entomologique de France* (N. S.) 53 (4): 256-279. https://doi.org/10.1080/00379271.2 017.1340095
- SCHÖNHERR C. J. 1840. Genera et species curculionidum, cum synonymia hujus familiae. Species novae aut hactenus minus cognitae, descriptionibus a Dom. Leonardo Gyllenhal, C. H. Boheman, et entomologicis aliis illustratae. Vol. 5 (2). Paris, Roret; Leipzig, F. Fleischer: 465-978.
- SENNA A. 1893. Contribuzioni allo studio dei Brentidi. Nota XVII. Su alcuni nuovi Brentidi della collezione del Colonnello von Schönfeldt. *Bollettino della Società entomologica italiana* 25: 117-135
- SFORZI A. & BARTOLOZZI L. 2004. Brentidae of the World (Coleoptera, Curculionoidea). *Monografie del Museo Regionale di Scienze Naturali, Torino* 39: 1-976.
- SHARP D. 1895. Class Insecta. Order Coleoptera. Tribe Rhynchophora. Fam. Brenthidae, *in* SHARP D., BLANDFORD F. Z. S. & JORDAN K. (eds), *Biologia Centrali-Americana* 4 (6): 1-80.
- SOARES B. A. M. 1970. Contribuição ao estudo das espécies do gênero Acratus Lacordaire (Coleoptera, Brentidae). Studia Entomologica 13 (1-4): 193-252.
- SOARES B. A. M. & DIAS S. M. 1971. Contribuição ao estudio des espécies do gênero *Proteramocerus* Kleine, 1921 (Coleoptera, Brentidae). *Revista Brasileira de Entomologia* 15 (7): 41-74.
- TOKI W., TANAHASHI M., TOGASHI K., FUKATSU T. 2012. Fungal farming in a non-social beetle. *PLoS ONE* 7 (7): e41893. https://doi.org/10.1371/journal.pone.0041893.
- Touroult J., Dalens P.-H., Giuglaris J.-L., Lapèze J. & Boilly O. 2017. Structure des communautés de Phanaeini (Coleoptera: Scarabaeidae) de Guyane: étude par échantillonnage massif au piège d'interception. *Annales de la Société entomologique de France* (N. S.) 53 (3): 143-161. https://doi.org/10.1080/0037 9271.2017.1319294
- TOUROULT J., POLLET M. & PASCAL O. 2018. Overview of Mitaraka survey: research frame, study site and field protocols, *in* TOUROULT J., "Our Planet Reviewed" 2015 large-scale biotic survey in Mitaraka, French Guiana. *Zoosystema* 40 (13): 327-365. https://doi.org/10.5252/zoosystema2018v40a13
- WANG L., FENG Y., TIAN J., XIANG M., SUN J., DING J., YIN W.-B., STADLER M., CHE Y. & LIU X. 2015. Farming of a defensive fungal mutualist by an attelabid weevil. *ISME Journal* 9 (8): 1793-1801. https://doi.org/10.1038/ismej.2014.263

Soumis le 1^{er} septembre 2017; accepté le 15 décembre 2017; publié le 7 août 2018.